

การศึกษาผลตอบสนองต่อการกดของโครงสร้างด้านข้างรถโดยสาร

Study on the Crashworthiness of Bus Side Frame under Quasi Static Crush

นิรุต อ่อนสลุง* ชวัลิต ถินวงศ์พิทักษ์ อำนาจศักดิ์ ทิบัญญา

ภาควิชาวิศวกรรมเครื่องกล คณะวิศวกรรมศาสตร์ มหาวิทยาลัยอุบลราชธานี อ.วารินชำราบ จ.อุบลราชธานี 34190

*E-mail: bignirut@yahoo.com

Nirut Onsalung* Chawalit Thinvongpituk, Amphisak Teeboonma

Department of Mechanical Engineering, Faculty of Engineering, Ubonratchatani University, Ubonratchatani 34190

*E-mail: bignirut@yahoo.com

บทคัดย่อ

เนื่องจากประเทศไทย มีอุบัติเหตุโดยสารที่ต่อรถโดยสารเพื่อจำหน่ายกระจายอยู่ทั่วไป ซึ่งจากการศึกษาเบื้องต้นพบว่าการผลิตรถโดยสารที่โดยสารส่วนใหญ่ยังอาศัยความชำนาญและประสบการณ์ ของช่างเป็นหลัก ขาดการคำนวณและการออกแบบในหลักทางวิศวกรรมอย่างเป็นระบบ นอกจากนี้รถโดยสารที่ต่อสำเร็จแล้วยังไม่มีแบบของโครงสร้างที่แน่นอน เป็นการยกแก่การนำรุ่งรักษากลไกและซ่อมแซมเมื่อเกิดการเสียหายอีกด้วย บทความนี้มีวัตถุประสงค์เพื่อศึกษาและพัฒนาโครงสร้างด้านข้างรถโดยสาร โดยพิจารณาจากความสามารถในการรับการชนเป็นหลัก จากการศึกษาเบื้องต้นพบว่าโครงสร้างแห่งด้านข้างนั้นนิยมต่อใน 3 รูปแบบคือ 1. การต่อในลักษณะให้เหล็กขนานในแนวโน้ม 2. การต่อลักษณะให้เหล็กต่อท่อแยกมุม และ 3. การต่อแบบสลับพันปลา บทความนี้ได้ทำการศึกษาการตอบสนองของลักษณะการต่อทั้งสามรูปแบบต่อการชนในแนวแกน โดยใช้โปรแกรมสำหรับคำนวณพลศาสตร์เชิงอนุรักษ์ แต่ละโครงสร้างถูกจำลองให้รับแรงกดในแนวแกนจนหยุดตัวจากนั้นทำการบันทึกกระบวนการรับแรงกดในโครงสร้าง แล้วคำนวณหาพลังงานที่โครงสร้างแต่ละแบบสามารถดูดซับได้ นอกจากนี้ในบทความนี้ยังได้ทำการเปรียบเทียบข้อดี ข้อเสียของโครงสร้างแห่งด้านข้างแต่ละแบบไว้ด้วย คำสำคัญ การชน การดูดซับพลังงาน โครงสร้างรถโดยสาร ชิ้นส่วน ดูดซับพลังงาน

Abstract

There are many bus builder factories in Thailand, ranging from small to large size. These companies supply buses in domestic and other countries in Asian. However, it has been found that most of the factory is lacking of engineer and the bus

structure has never been calculated nor verified in the design step. Instead, the process mainly depends on skill and experience of the constructors. Regarding to the bus structure itself, the side wall structure is an important part since it absorbs impact energy from frontal to the rear. There are 3 patterns of bus side wall i.e. horizontal parallel beams, diagonal parallel beams and head-to-tail beams. This paper is aimed to investigate the crush characteristic of those three patterns of bus frame. The response of each structure i.e. loads and displacements were recorded. Crush energy and other crashworthiness parameters of each structure were calculated and compared. Advantages and disadvantages of each structural pattern were discussed

Keywords: Crashworthiness, Bus Frame, Energy Absorption Element, Automotive, Crash Structure

1. บทนำ

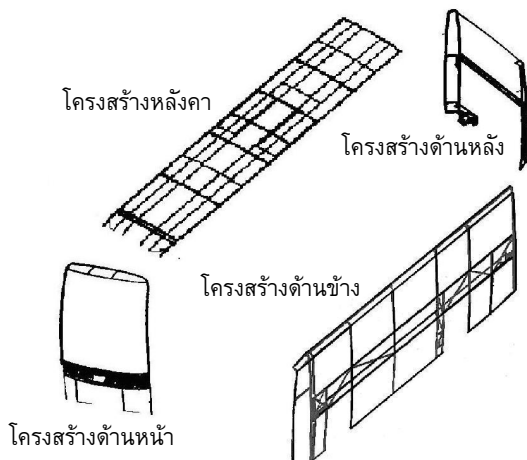
การศึกษาการเสียหายของชิ้นส่วนโครงสร้างรถโดยสารที่ได้รับการชน มีความสำคัญอย่างมากในอุตสาหกรรมยานยนต์ เนื่องจากโครงสร้างเหล่านี้เป็นสิ่งสำคัญ ที่จะปกป้องผู้โดยสารเมื่อเกิดอุบัติเหตุ ซึ่งในต่างประเทศได้มีการศึกษาค้นคว้าเกี่ยวกับโครงสร้างรถโดยสารต่ออย่างกว้างขวางและมีการพัฒนาอย่างต่อเนื่อง เช่น การศึกษาเกี่ยวกับตัวแปรที่มีผลกับการบันทึกข้อมูลเสียหายของห้องผู้โดยสารด้วยการจำลองทางคอมพิวเตอร์ [3] การศึกษาการเสียหายของโครงสร้างรถบัสรับส่งนักเรียน [4] โดยการศึกษาส่วนมากมักทำการทดสอบกับชิ้นส่วนสำคัญที่รับแรงกระแทกเป็นหลัก เพื่อหาค่าความสามารถในการดูดซับ

พัฒนาของโครงสร้าง [5] นอกจากนี้ยังได้มีการศึกษาเกี่ยวกับความปลอดภัยของร่างกายมนุษย์ ที่จะทนต่อแรงกระแทกได้เมื่อเกิดอุบัติเหตุ โดยมีผู้ทำการศึกษาวิจัยเกี่ยวกับด้านนี้ เช่น การศึกษาการทนต่อการเปลี่ยนแปลงความเร่งหรือความหน่วงของร่างกายมนุษย์เมื่อเกิดการชน

[6] หรืออันตรายที่อาจเกิดกับร่างกายมนุษย์ในลักษณะต่างๆ [7] การศึกษาอันตรายที่เกิดกับคนขับและผู้โดยสาร ของรถยนต์สามล้อโดยสารเมื่อเกิดการชน [8] นอกจากนี้ในประเทศอุตสาหกรรมต่างๆ ยังได้มีการกำหนดมาตรฐานในการทดสอบรถยนต์ไว้หลายมาตรฐาน เช่น มาตรฐานความปลอดภัยของสหพันธ์ยานยนต์ (Federal Motor Vehicle Safety Standard, FMVSS) การประเมินและทดสอบรถยนต์ใหม่ (New Car Assessment Program, NCAP) และการทดสอบมาตรฐานความปลอดภัยบนทางด่วน (Insurance Institute for Highway Safety, IIHS) [9] ซึ่งจากล้ำๆ ได้ว่าการศึกษาเกี่ยวกับโครงสร้างยานยนต์ภายใต้การชนกระแทกนั้น มีความสำคัญอย่างมาก ในปัจจุบัน

ประเทศไทยเป็นอีกประเทศที่มีการผลิตชิ้นส่วนยานยนต์ เพื่อจำหน่ายทั่วไปและต่างประเทศ โดยเฉพาะรถยนต์โดยสารขนาดใหญ่ที่ผลิตโดยอู่ต่อรถในแต่ละภูมิภาคของประเทศไทย ซึ่งมีวิธีการผลิตที่แตกต่างกันไปตามแต่ความชำนาญและประสบการณ์ของช่างในแต่ละอู่ ขาดการกำหนดกฎเกณฑ์การทดสอบและมาตรฐานที่แน่นอน แม้แต่ข้อกำหนดของกระบวนการส่งทางบกก็กำหนดไว้เพียงพิกัดขนาด [10] น้ำหนักร่วมสูงสุดและการกระจายน้ำหนักลงเพลาเท่านั้นให้ได้ตามกำหนด [11] ซึ่งไม่มีข้อกำหนดใดๆ ที่เกี่ยวกับความแข็งแรงของโครงสร้างเลย

รถยนต์โดยสารประกอบด้วยโครงสร้างสำคัญ 4 ส่วนดังแสดงในรูปที่ 1



รูปที่ 1 แสดงส่วนประกอบของโครงสร้างรถยนต์โดยสาร

จากรูปที่ 1 เป็นการแสดงส่วนประกอบของโครงสร้างของรถยนต์โดยสารซึ่งประกอบด้วยโครงสร้างด้านหน้า โครงสร้างหลังคา โครงสร้างด้านข้างและโครงสร้างด้านหลัง โครงสร้างเหล่านี้จะถูกนำมาประกอบกันเป็นโครงสร้างรถยนต์โดยสาร โดยต้องขึ้นไปจากแซลซ์ของรถแต่ละคัน โครงสร้างแต่ละส่วนถูกออกแบบให้รับภาระในทิศทางและลักษณะต่างๆ กัน

บทความนี้จะนำเสนอผลการศึกษา เนื่องจากโครงสร้างด้านข้างของรถยนต์โดยสารภายใต้การชนในแนวแกนเท่านั้น สำหรับโครงสร้างส่วนอื่นๆ อยู่ในระหว่างการศึกษาและจะได้นำเสนอในโอกาสต่อๆ ไป

2. วิธีการศึกษาและการดำเนินการ

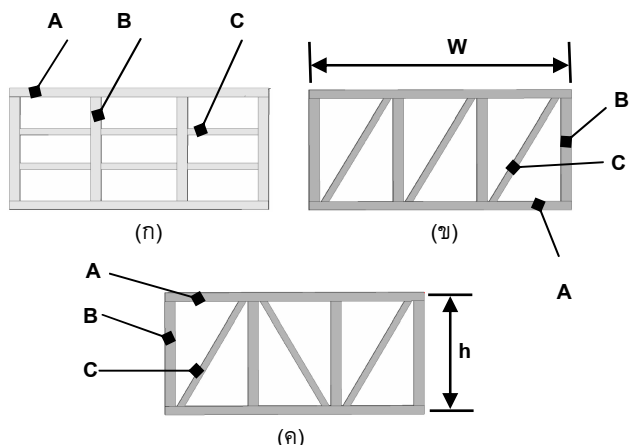
2.1 ลักษณะของโครงสร้างที่ศึกษา

บทความนี้มุ่งเน้นการศึกษารูปแบบการต่อของโครงสร้างด้านข้างรถยนต์โดยสารที่มีการต่อแบบต่างๆ เพื่อเปรียบเทียบความสามารถในการดูดซับพลังงานของโครงสร้างภายใต้ภาระการชน หรือการกด โดยจากการศึกษาในเบื้องต้นสามารถแบ่งโครงสร้างด้านข้างรถยนต์โดยสารตามลักษณะของการต่อได้เป็น 3 แบบด้วยกัน คือ 1. การต่อแบบขานแนวนอน 2. การต่อลักษณะให้เหล็กต่อหอยแยงมุกและ 3. การต่อแบบสลับพับกลา ดังแสดงในรูปที่ 2 ซึ่งโครงสร้างทั้ง 3 แบบนี้ประกอบขึ้นจากเหล็กกล่องหน้าตัดสี่เหลี่ยม 3 ชนิดที่มีขนาดต่างกัน ดังแสดงในตารางที่ 1 โดยเหล็กทุกชนิดมีความหนาเท่ากันทั้งหมด คือ มีความหนา 2 mm. เหล็กแต่ละชนิดจะถูกนำมาประกอบเป็นโครงสร้างแต่ละแบบดังแสดงในรูปที่ 2

ตารางที่ 1 แสดงรายละเอียดของเหล็กที่ใช้ในการต่อโครงสร้างด้านข้าง

ชนิดของเหล็กกล่อง	ขนาดหน้าตัด (mm X mm)
A	50 X 50
B	60 X 40
C	37 X 37

จากตารางที่ 1 แสดงขนาดของเหล็กกล่องแต่ละชนิดที่ใช้ประกอบโครงสร้างทั้ง 3 แบบโดยเหล็กชนิด A จะใช้เป็นคาดหลักของโครงสร้างเหล็กชนิด B ใช้ต่อในแนวตั้งจากกับคาดหลักและเหล็กชนิด C ใช้ต่อเสริมระหว่างโครงสร้างให้มีลักษณะการต่อเป็น 3 รูปแบบดังได้กล่าวมาแล้วในตอนต้น



รูปที่ 2 แสดงตัวอย่างแบบจำลองของโครงสร้างด้านข้างรถยนต์โดยสาร

- การต่อแบบขานแนวนอน
- การต่อแบบหอยแยงมุก
- การต่อแบบสลับพับกลา

จากรูปที่ 2 แสดงลักษณะการต่อของโครงสร้างทั้ง 3 แบบ ในรูปที่ 2 (ก) เป็นการต่อโครงสร้างแบบบานในแนวนอนโดยใช้เหล็กกล่องชนิด A เป็นคานหลักในแนวนอนแล้วใช้เหล็กกล่องชนิด B ต่อขวางขึ้นในแนวดังจากนั้นจะใช้เหล็กชนิด C เป็นส่วนเสริมในโครงสร้างในลักษณะนี้กับคานหลัก รูปที่ 2 (ข) เป็นการต่อแบบထะมุมโดยใช้เหล็กแบบ A และ B ต่อในลักษณะเดียวกับแนวนอนแต่จะใช้เหล็กชนิด C ต่อเสริมในลักษณะให้เหล็กต่อหกแยงมุมและรูปที่ 2 (ค) เป็นการต่อแบบสลับพื้นปลา ซึ่งการต่อจะคล้ายกันกับการต่อแบบထะมุมแต่จะใช้เหล็กชนิด C ต่อเสริมในลักษณะสลับพื้นปลา โดยโครงสร้างทั้ง 3 แบบเมื่อประกอบกันแล้วโครงสร้างจะมีความสูงของทั้งหมด (h) ประมาณ 700 mm. และมีความกว้างทั้งหมด (W) ประมาณ 1500 mm.

2.2 ตัวแปรที่พิจารณา

ในการศึกษาทางด้านการเสียหายของโครงสร้าง ภายใต้การชน (Crashworthiness) มักจะศึกษาจากการฟอกภาวะและระยะยุบตัวของโครงสร้างดังตัวอย่างภาพในรูปที่ 3 โดยมีตัวแปรที่สำคัญหลายตัว เช่น ภาระวิกฤติ (Critical Load, P_c) หมายถึง ภาระแรกที่ทำให้ชั้นงานเกิดการเสียหายอย่างล้มเหลวได้ ภาระเฉลี่ย (Mean crushing load, P_{mean}) หมายถึง ภาระเฉลี่ยที่ลดลงจากการเสียหายของโครงสร้างภายใต้การกระแทกจนสิ้นสุดการยุบตัว ภาระสูงสุด (Maximum Load, P_{max}) หมายถึง ภาระสูงสุดที่เกิดขึ้นในระหว่างกระบวนการยุบตัวจากเริ่มต้นจนสิ้นสุด พลังงานที่ดูดซับได้ (Energy absorption, E_a) หมายถึง พลังงานที่โครงสร้างสามารถดูดซับได้ตลอดช่วงเวลาการกระแทก หรือการยุบตัวและพลังงานดูดซับจำเพาะ (Specific energy absorption, E_s) หมายถึง พลังงานที่โครงสร้างสามารถดูดซับได้ เมื่อเทียบกับขนาดหนักของตัวโครงสร้างเอง โดยในบทความนี้ได้มุ่งเน้นศึกษาค่าพลังงานที่ดูดซับได้และพลังงานดูดซับจำเพาะของโครงสร้าง ซึ่งเป็นตัวแปรที่สำคัญในการมองถึงความสามารถในการดูดซับพลังงานจาก การชนของโครงสร้าง โดยในการหาค่าพลังงานดูดซับนั้นสามารถหาได้จากพื้นที่ที่ทำการฟอกภาวะและระยะยุบตัวของโครงสร้าง เมื่อเกิดการชนหรือสามารถเขียนเป็นสมการได้ดังสมการที่ 1

$$E_a = \int P dS \approx P_{mean} \cdot S \quad (1)$$

โดยที่ E_a คือค่าพลังงานดูดซับ P_{mean} คือค่าภาระเฉลี่ย S คือค่าระยะยุบตัว และสามารถหาค่าพลังงานดูดซับจำเพาะได้จากสมการที่ 2

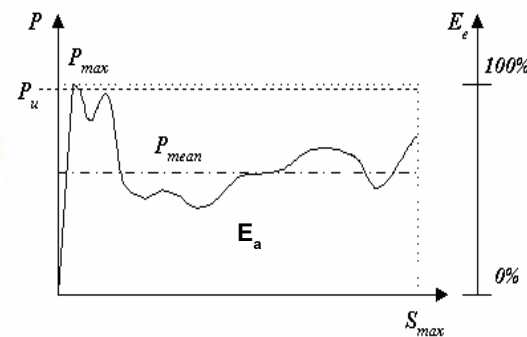
$$E_s = \frac{\int P dS}{mass} \approx \frac{P_{mean} \cdot S}{mass} \quad (2)$$

โดยที่ E_s คือค่าพลังงานดูดซับจำเพาะ P_{mean} คือค่าภาระเฉลี่ย S คือระยะยุบตัวของโครงสร้าง และ mass คือ มวลของโครงสร้าง

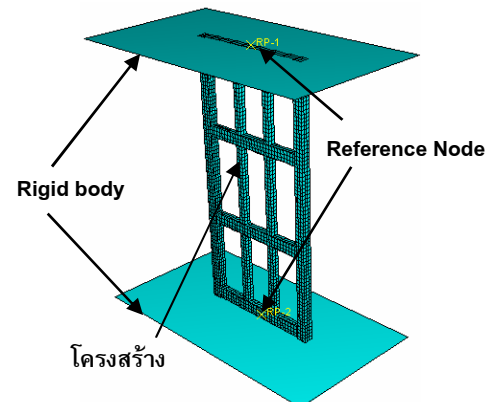
2.3 แบบจำลองทางคอมพิวเตอร์

การศึกษานี้ได้ใช้โปรแกรมสำเร็จรูปทางไฟนิติเอลิเมนต์ ชื่อ ABAQUS โดยได้จำลองโครงสร้างแต่ละแบบด้วยเอลิเมนต์แบบเปลือกบาง (Shell Element) ชนิด 4 Node โครงสร้างที่ทดสอบในโปรแกรมจะสร้างให้มีคุณสมบัติและลักษณะต่างๆ ตามแบบในรูปที่ 2 ซึ่งในการ

ทดลองนี้ได้สมมุติให้โครงสร้างทั้งหมดเป็นเนื้อดีயากันและสมมุติให้รอยเชื่อมจะไม่เกิดการเสียหายก่อนชั้นงาน



รูปที่ 3 กราฟแสดงความสัมพันธ์ระหว่างภาระและระยะยุบตัวของโครงสร้างพร้อมกับแสดงตัวแปรต่างๆ ที่นิยมใช้ในการศึกษา



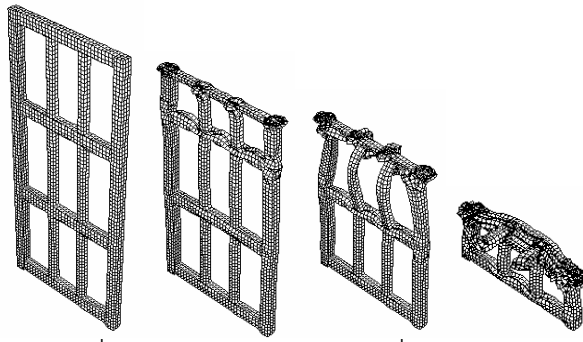
รูปที่ 4 แสดงตัวอย่างแบบจำลองในโปรแกรมคอมพิวเตอร์

จากรูปที่ 4 เป็นการแสดงตัวอย่างแบบจำลองทางคอมพิวเตอร์ของโครงสร้างที่มีการต่อแบบบาน ซึ่งโครงสร้างแบบนี้จะสร้างขึ้นในลักษณะเดียวกัน โดยให้โครงสร้างที่จะทดสอบบ่วงอยู่ระหว่างแผ่นตัดผ่านกลางคุณสมบัติของวัสดุที่ใช้สมมุติให้เป็นแบบ Elastic - Plastic และกำหนดให้แผ่นด้านล่างยึดติดกับที่ ในขณะที่แผ่นด้านบนสามารถเลื่อนกดลงมาในแนวตั้งเป็นระยะประมาณ 80 % ของความสูงทั้งหมดแล้วบันทึกข้อมูลที่ได้จากการทดลอง โดยจุดอ้างอิงด้านบนจะทำหน้าที่วัดระยะยุบตัวของโครงสร้างจากเริ่มต้นจนสิ้นสุดระยะยุบตัว ส่วนจุดอ้างอิงด้านล่างจะทำหน้าที่วัดแรงปฏิกิริยาที่ได้จากการกดจากนั้นจะนำค่าที่ได้มาเขียนgraficความสัมพันธ์ระหว่างแรงปฏิกิริยาและระยะยุบตัวของโครงสร้างเพื่อคำนวณหาค่าพลังงานที่ดูดซับต่อไป

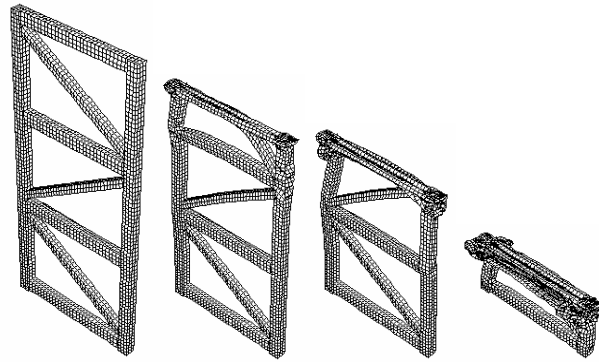
3. ผลการศึกษาและการวิเคราะห์ผล

3.1 ลักษณะการเสียหาย

รูปแบบการเสียหายของโครงสร้างด้านข้างอยู่ด้วยสารทั้ง 3 แบบได้แสดงในรูปที่ 5 ถึงรูปที่ 7

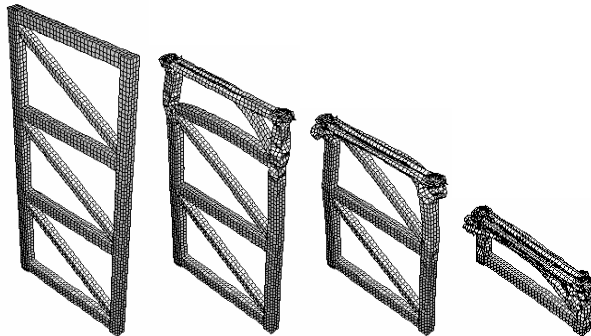


รูปที่ 5 แสดงผลการกดของโครงสร้างที่ต่อแบบขาน



รูปที่ 7 แสดงผลการกดของโครงสร้างที่ต่อแบบสลับพื้นปลา

จากรูปที่ 5 เป็นรูปที่แสดงการเสียหายของโครงสร้างแบบต่อตรง โดยรูปแบบการเสียหายในช่วงเริ่มแรกจะเกิดการบุบตัวในแนวแกนเป็นหลัก เพราะลักษณะของโครงสร้างนี้จะรองรับแรงกดในแนวแกนโดยตรง หลังจากนั้นเหล็กเสริมชนิด C จะเริ่มมีการโก่งตัวขึ้นเมื่อโครงสร้างบุบตัวจนสุดระยะแล้ว จะเห็นว่าการเสียหายที่เกิดขึ้นมีส่วนที่พับและยื่นออกมากซึ่งลักษณะนี้ถือว่าจากอุบัติเหตุที่เกิดอันตรายกับผู้โดยสารได้ เนื่องจากโครงสร้างด้านข้างนี้ จะอยู่ตรงตำแหน่งบริเวณระดับเดียวกันกับที่นั่งของผู้โดยสารในรถยนต์โดยสาร

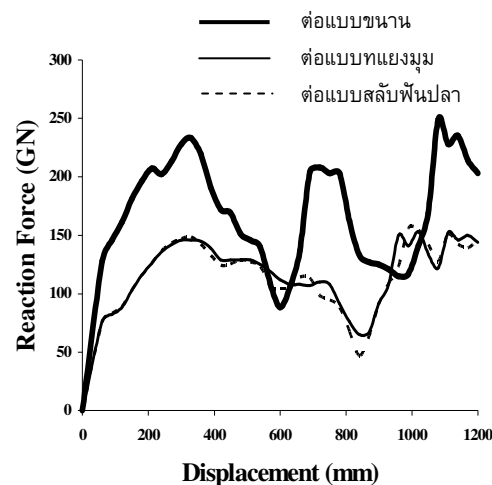


รูปที่ 6 แสดงผลการกดของโครงสร้างที่ต่อแบบทแยงมุม

จากรูปที่ 6 เป็นผลการเสียหายของโครงสร้างที่ต่อแบบทแยงมุม ซึ่งลักษณะการบุบตัวจะเห็นว่ามีการบุบตัวที่เป็นระเบียบ โดยจะเสียหายมากที่บริเวณชั้นส่วนหลักด้านข้าง และชั้นส่วนที่ต่อทแยงมุมก็มีลักษณะการบุบตัวที่เป็นระเบียบทั้งนี้อาจเนื่องมาจากการต่อลักษณะนี้มีผลของโมเมนต์ตัดเกิดขึ้นด้วย ซึ่งต่างกับการต่อแบบขานที่รับแรงในแนวแกนเป็นหลัก ดังนั้นโครงสร้างแบบนี้จึงมีการบุบตัวที่เป็นระเบียบไม่มีชั้นส่วนยื่นออกมากหลังการพับตัวของโครงสร้าง

ในรูปที่ 7 เป็นผลการเสียหายของโครงสร้างที่ต่อแบบสลับพื้นปลาจะเห็นว่า ลักษณะการเสียหายจะคล้ายกันกับการต่อแบบทแยงมุม คือ จะมีการเสียหายที่บริเวณมุมของโครงสร้างเป็นหลักจากนั้นโครงสร้างทั้งหมดจะบุบตัวลงในแนวแกนอย่างค่อนข้างเป็นระเบียบ แต่อาจมีการโก่งตัวเล็กน้อยที่บริเวณโครงสร้างหลัก เนื่องจากมีปลายของเหล็กเสริม (แบบ C) ต่ออยู่ด้วยกันถึง 2 ตัว

3.2 คุณลักษณะของการฟรiction ระหว่างแรงปฎิกิริยาและระยะยุบตัว



รูปที่ 8 กราฟแสดงแรงปฎิกิริยา กับระยะยุบตัวของโครงสร้างทั้ง 3 แบบ

จากรูปที่ 8 เป็นกราฟความสัมพันธ์ระหว่างแรงปฎิกิริยา กับระยะยุบตัวของโครงสร้างทั้ง 3 แบบที่ได้จากการทดสอบเพื่อหาค่าการคูณชับพลังงานของโครงสร้างแต่ละแบบ โดยในแกนตั้งเป็นค่าของแรงปฎิกิริยา และในแกนนอนเป็นค่าระยะยุบตัวของโครงสร้างจากเริ่มต้นจนสิ้นสุดการบุบตัว จากราฟจะเห็นว่าในช่วงเริ่มต้นก่อนที่กราฟเริ่มเปลี่ยนแปลงความชันนั้นถือเป็นช่วงที่โครงสร้างยังไม่เสียรูป ซึ่งพบว่า การต่อแบบขานจะสามารถรับแรงกดได้มากที่สุดคือประมาณ 260 GN ส่วนการต่อแบบสลับพื้นปลาและการต่อแบบทแยงมุมจะรับแรงกดได้ใกล้เคียงกันคือ ประมาณ 160 GN ซึ่งถือว่ามีความสามารถรับแรงกดได้น้อยกว่าการต่อแบบขาน นอกจากนี้ยังพบว่าลักษณะเส้นกราฟของการต่อแบบขาน จะมีการແງะตัวของกราฟสูงกว่าเส้นกราฟของการต่อแบบทแยงมุมและแบบสลับพื้นปลา ทั้งนี้เนื่องจาก การบุบตัวของโครงสร้างนั้นมีการพับตัวอย่างรวดเร็วในขณะที่โครงสร้างอีก 2 แบบ มีการบุบตัวแบบค่อนข้างเป็นระเบียบกันมาก คืออย่าง เกิดการบุบตัวอย่างเป็นลำดับลงมา

จากราฟในรูปที่ 8 เมื่อนำไปคำนวณหาค่าพลังงานคูณชับและพลังงานคูณชับจำเพาะจะได้ผลดังตารางที่ 2

ตารางที่ 2 แสดงผลลัพธ์งานที่ดูดซับของโครงสร้างและตัวแปรที่เกี่ยวข้อง

ชนิดการต่อ	การต่อแบบ ขาน	การต่อแบบ ทแยงมุม	การต่อแบบสลับ ฟันปลา
ภาระเฉลี่ย (GN)	163	116.21	113.98
มวล (kg)	6.04	5.563	5.563
ระยะยุบตัว (mm)	1200	1200	1200
พลังงานดูดซับ (GJ)	195.6	139.45	136.78
พลังงานดูดซับ จำเพาะ (GJ/kg)	32.384	25.067	25.127

จากตารางที่ 2 เป็นการแสดงค่าที่ได้จากการทดสอบและการคำนวณเกี่ยวกับตัวแปรที่เกี่ยวข้อง โดยตัวแปรหลักที่พิจารณาได้แก่ค่า พลังงานดูดซับ จากการคำนวณพบว่าค่าพลังงานดูดซับของโครงสร้างที่ต่อแบบขานเท่ากับ 195.6 GJ โครงสร้างที่ต่อแบบทแยงมุมเท่ากับ 139.45 GJ และโครงสร้างที่ต่อแบบสลับฟันปลาเท่ากับ 136.78 GJ ซึ่งโครงสร้างแบบต่อขานจะดูดซับพลังงานได้ดี ส่วนค่าพลังงานดูดซับจำเพาะของโครงสร้างทั้ง 3 แบบมีค่าเท่ากับ 32.384 GJ/kg สำหรับการต่อแบบทแยงมุมและ 25.127 GJ/kg สำหรับการต่อแบบสลับฟันปลา ซึ่งจะเห็นว่าการต่อแบบขานสามารถดูดซับพลังงานจากการชนในแนวแกนได้ประมาณ 28 % และพลังงานดูดซับจำเพาะประมาณ 23 % เมื่อเปรียบเทียบกับการต่ออีก 2 แบบ

4. สรุปผล

จากการศึกษาลักษณะการต่อของโครงสร้างด้านข้างรถยนต์โดยสารทั้ง 3 รูปแบบโดยพิจารณาเฉพาะแรงในแนวแกนพบว่าการต่อแบบขานให้ค่าการดูดซับพลังงานจากการชนตามแนวแกนได้ดีที่สุด เมื่อเปรียบเทียบกับโครงสร้างที่ต่อแบบทแยงมุมและแบบสลับฟันปลา แต่ลักษณะของการเสียหายที่เกิดขึ้นในการต่อแบบขานจะมีข้อเสีย คือเกิดการโกร่งตัวออกจากระนาบของโครงสร้าง ซึ่งอาจส่งผลต่อผู้โดยสารได้มีเกิดอุบัติเหตุ นอกจากนี้เมื่อเปรียบเทียบค่าพลังงานดูดซับจำเพาะกับน้ำหนักของแต่ละโครงสร้างแล้วจะเห็นว่า ค่าการดูดซับพลังงานจำเพาะมีค่าแตกต่างกันอย่างสังเกตได้ชัดเจน โดยที่น้ำหนักของแต่ละโครงสร้างต่างกันไม่มากนัก จึงเป็นข้อบ่งชี้ว่าลักษณะการต่อของโครงสร้างมีผลกับความสามารถในการรับแรงกระแทกมากกว่าน้ำหนักที่เปลี่ยนไปของโครงสร้างทั้ง 3 แบบ

บทความนี้ศึกษาเฉพาะผลตอบสนองต่อการชนในแนวแกนเท่านั้น แต่ในสถานการณ์จริงโครงสร้างอาจต้องรับภาระการชนด้านข้างซึ่งเป็นภาระไม่เน้นตัดหรือการพลิกครึ่ง ซึ่งอาจสร้างภาระบิดให้โครงสร้างได้ โดยผลตอบสนองของโครงสร้างแต่ละแบบต่อภาระอื่นๆ ก็อาจเปลี่ยนไปด้วย ทั้งนี้การศึกษาในกรณีภาระแบบอื่นๆ กำลังดำเนินการอยู่และจะได้นำเสนอผลการศึกษาในโอกาสต่อๆ ไป

กิตติกรรมประกาศ

ขอขอบคุณสำนักงานคณะกรรมการวิจัยแห่งชาติ ที่ให้การสนับสนุนทุนวิจัยในโครงการนี้

เอกสารอ้างอิง

- [1] Huh, H. et al (2003) "Crashworthiness assessment of front side members in an auto-body considering the fabrication histories" Int. J. Mechanical Sciences, 45, pp.1645–1660
- [2] Wang Yong, et al (2003) "A study on crashworthiness of mini-car front longitude member by computer simulation" 12th International Pacific Conference on Automotive Engineering
- [3] Wang Hongyan, Xiao Fan (2003) "Simulation of passenger's responsive motion in vehicle frontal crash" 12th International Pacific Conference on Automotive Engineering.
- [4] Lisa k. Dulliran.VRTC and Linda B.Mccray, USR. "Large school bus safety restraint evaluation" National highway traffic safety administration united state. Paper No.345
- [5] Toru Kawano,Yuta Urushiyama (2003) "Research on aluminum structures for crash energy absorption" 12th International Pacific Conference on Automotive Engineering, Bangkok, Thailand.
- [6] Jones, N. (1997) "Structural impact" Cambridge University Press, Uk
- [7] Snyder, R.G. (1970) "Human impact tolerance" SAE Paper 700398, International automotive safety conference compendium, SAE, pp. 712-782
- [8] D.ohan et, al. (1996) "Impact modeling studies for a three-wheeled Scooter Taxi" Accid.Anal.and Prev., Vol 29. pp.161-170
- [9] Himat F.Mahood and Bahig B.Fileta (2004) "Design of vehicle structures for crash energy management" Vehicle crashworthiness and occupant protection. American Iron and steel Institute.
- [10] ประกาศกรมการขนส่งทางบก เรื่อง แบบและการจัดวางที่นั่งผู้โดยสารของรถที่ใช้ในการขนส่งผู้โดยสาร, กรมการขนส่งทางบก, เมษายน พ.ศ. 2537
- [11] คู่มือตรวจสอบน้ำหนักรวมสูงสุดและน้ำหนักกลงเพลาของรถโดยสาร, กรมการขนส่งทางบก, มีนาคม พ.ศ. 2535